

Численное моделирование движения уединенных и ударных волн в несжимаемой жидкости

К.Е. АФАНАСЬЕВ

Кемеровский государственный университет

e-mail: keafa@kemsu.ru

С.Н. КАРАБЦЕВ, Т.С. РЕЙН

В последнее время наблюдается интенсивное развитие теории обрушающихся волн. Однако, несмотря на многочисленные работы, до сих пор все строгие исследования сделаны в рамках приближения идеальной жидкости. Проблема исследования волнового движения в вязкой жидкости актуальна в связи с многочисленными академическими, техническими и технологическими приложениями.

Введение

В последнее время наблюдается интенсивное развитие теории обрушающихся волн. Однако, несмотря на многочисленные работы до сих пор все строгие исследования сделаны в рамках приближения идеальной жидкости [1, 2]. Наиболее корректные попытки учета влияния вязкости на нелинейную эволюцию формы свободной поверхности вязкой жидкости выполнены в рамках теории пограничного слоя.

Проблема исследования волнового движения в вязкой жидкости актуальна в связи с многочисленными академическими, техническими и технологическими приложениями [3]. Однако, процесс обрушения волн, особенно ныряющих обрушающихся волн, изучен достаточно поверхностно. Детально не известны механизмы формирования и опрокидывания гребня волны, образования пелены брызг, захвата смеси воздуха, приводящие к появлению неустойчивостей и турбулентности в течениях, а также образованию вихрей.

В данной работе представлены результаты численного моделирования движения и обрушения уединенных и ударных волн в вязкой несжимаемой жидкости (2D постановка). В качестве численного метода используется бессеточный метод конечных элементов, использующий для интерполяции неизвестных функции формы Сибсона и Лапласа. Приведено сравнения форм свободной поверхности с результатами, полученными при использовании модели идеальной жидкости. Особое внимание уделяется проверке законов сохранения.

§1. Общая постановка задачи о течении несжимаемой жидкости со свободной границей

Ниже приведем общую постановку плоской нестационарной задачи течения идеальной жидкости со свободной границей. В расчетной области течения D , представленной конечным набором узлов, ограниченной свободной поверхностью Γ_3 и твердыми границами Γ_1 , Γ_2 и Γ_4 (рисунок 1), задано течение идеальной несжимаемой жидкости. Такое течение описывается системой уравнений Эйлера и уравнением неразрывности:

$$\frac{Du_i}{Dt} = -\frac{1}{\rho} \frac{\partial p}{\partial x_i} + f_i, \quad \mathbf{x}(t) \in D, \quad i = \overline{1, 2}. \quad (1)$$

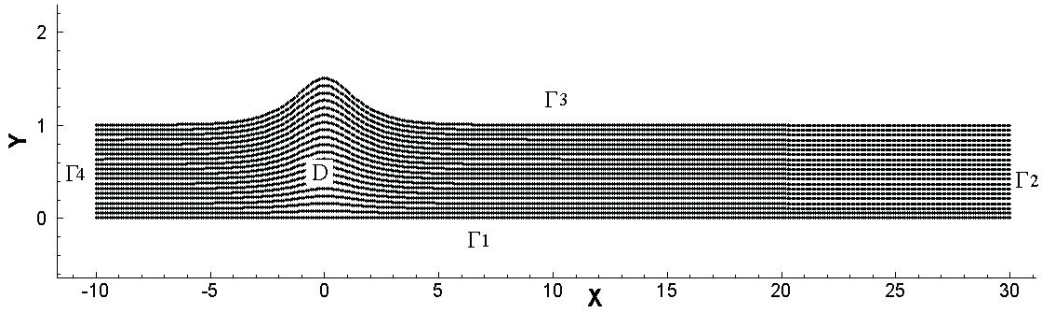


Рис. 1. Схема расчетной области

$$\partial u_i / \partial x_i = 0, \quad \mathbf{x}(t) \in D. \quad (2)$$

Здесь $\mathbf{x}(t) = (x_1(t), x_2(t))$ – пространственные координаты, $\mathbf{u}(\mathbf{x}, t) = (u_1(\mathbf{x}, t), u_2(\mathbf{x}, t))$ – вектор скорости, $p(\mathbf{x}, t)$ – давление, ρ – плотность, $\mathbf{f} = (f_1, f_2) = (0, -g)$ – вектор внешних сил. Движение расчетных узлов во всей области описывается уравнением вида:

$$dx_i/dt = u_i, \quad \mathbf{x}(t) \in D, \quad i = \overline{1, 2}. \quad (3)$$

На свободной поверхности Γ_3 выполняется динамическое условие $p(\mathbf{x}, t) = p_{atm}$, на твердых стенках $\Gamma_1, \Gamma_2, \Gamma_4$ выполняется условие непротекания $\mathbf{u} \cdot \mathbf{n} = 0$, где $\mathbf{n} = (n_1, n_2)$ – внешняя нормаль к границе жидкости.

Ниже приведем общую постановку задачи о движении вязкой несжимаемой жидкости. Пусть в области течения D происходит движение ньютоновской вязкой несжимаемой жидкости, описываемое системой уравнений Навье-Стокса и уравнением неразрывности (2). В постановке Эйлера уравнения Навье-Стокса будут иметь следующий вид:

$$\frac{Du_i}{Dt} = -\frac{1}{\rho} \frac{\partial p}{\partial x_i} + \frac{\mu}{\rho} \frac{\partial}{\partial x_j} \frac{\partial u_i}{\partial x_j} + f_i, \quad i = \overline{1, 2}, \quad j = \overline{1, 2}. \quad (4)$$

В системе уравнений (2), (4) искомыми функциями являются давление p и вектор скорости \mathbf{u} , параметрами – плотность ρ , вектор внешних сил \mathbf{f} и коэффициент динамической вязкости μ .

Запишем граничные условия для системы уравнений Навье-Стокса (2), (4). Так как жидкость вязкая, то на твердых стенках Γ_1, Γ_2 и Γ_4 выполняется условие прилипания: $u_i = 0, \quad i = \overline{1, 2}$. На свободной поверхности Γ_3 , как и в случае идеальной жидкости, выполняется динамическое условие $p = p_{atm}$.

Для нестационарной задачи о движении, как вязкой, так и идеальной жидкости необходимо задать положение расчетных узлов $\mathbf{x}(0) = \mathbf{x}^0$ и распределение неизвестных функций во всей области течения: $\mathbf{u}(\mathbf{x}, 0) = \mathbf{u}^0(\mathbf{x}), \quad p(\mathbf{x}, 0) = p^0(\mathbf{x})$.

§2. Алгоритм движения по времени (схема расщепления)

Интегрирование по времени систем уравнений Эйлера и Навье-Стокса, описывающих поведение идеальной и вязкой жидкостей соответственно, представляет некоторые трудности, когда жидкость несжимаемая или слабо сжимаемая. В таком случае не может быть использован явный метод интегрирования по времени, в частности не удастся устранить нефизические осцилляции функции давления. Для систем дифференциальных уравнений в частных производных в работе [4] был предложен в общем виде метод

расщепления (метод дробных шагов). Суть этого метода заключается в разбиении физического процесса на два: конвекцию-диффузию и вклад давления. На первом этапе в уравнении движения учитываются только конвективные члены, в результате чего выделяется фиктивная переменная \mathbf{u}^* – предиктор скорости. Второй этап заключается в добавлении к \mathbf{u}^* члена $(-\Delta t \nabla p)$, который будет обеспечивать соленидальность \mathbf{u} на шаге по времени $t + \Delta t$. Для расщепления уравнение движения Навье-Стокса используется выражение:

$$\frac{Du_i}{Dt} \approx \frac{u_i^{n+1} - u_i^n}{\Delta t} = \frac{u_i^{n+1} - u_i^* + u_i^* - u_i^n}{\Delta t} = \left(-\frac{1}{\rho} \frac{\partial}{\partial x_j} p + \frac{\mu}{\rho} \frac{\partial}{\partial x_i} \frac{\partial u_i}{\partial x_j} + f_i \right)^{n+1/2}. \quad (5)$$

$\left(-\frac{1}{\rho} \frac{\partial}{\partial x_i} p + \frac{\mu}{\rho} \frac{\partial}{\partial x_j} \frac{\partial u_i}{\partial x_j} + f_i \right)^{n+1/2} = [\phi(x, t)]^{n+1/2} = \frac{1}{2} (\phi^{n+1} + \phi^n)$, где $\Delta t = t^{n+1} - t^n$ – шаг по времени; под символом ϕ^n понимается выражение $\phi^n = \phi(x^n, t^n)$, соответственно $u_i^n = u_i(t^n, \mathbf{x}^n)$, $u_i^{n+1} = u_i(t^{n+1}, \mathbf{x}^{n+1})$.

Разделив слагаемые в уравнении (5) в соответствии с идеей метода расщепления, получим следующие выражения для предиктора и корректора скорости:

$$u_i^* = u_i^n + f_i \Delta t + \frac{\mu}{\rho} \frac{\partial}{\partial x_j} \frac{\partial u_i^{*+1/2}}{\partial x_j} \Delta t, \quad (6)$$

$$u_i^{n+1} = u_i^* - \frac{\Delta t}{\rho} \frac{\partial}{\partial x_i} p^{n+1}. \quad (7)$$

При расщеплении уравнения движения Эйлера, вследствие отсутствия в нем слагаемого, отвечающего за вязкость, уравнение (6) переписется в виде:

$$u_i^* = u_i^n + \Delta t f_i. \quad (8)$$

Для интегрирования уравнения неразрывности вводится фиктивная функция плотности ρ , удовлетворяющая уравнению $D\rho/Dt + \rho \partial u_i / \partial x_i = 0$ [5], тогда

$$\frac{D\rho}{Dt} \approx \frac{\rho^{n+1} - \rho^n}{\Delta t} = -\rho \frac{\partial (u_i^{n+1} - u_i^*)}{\partial x_i} - \rho \frac{\partial u_i^*}{\partial x_i}, \quad (9)$$

где ρ^* также как и при расщеплении уравнения движения, является фиктивной переменной. Из выражения (9) получим:

$$\frac{\rho^* - \rho^n}{\Delta t} = -\rho \frac{\partial u_i^*}{\partial x_i}, \quad (10)$$

$$\frac{\rho^{n+1} - \rho^*}{\Delta t} = -\rho \frac{\partial (u_i^{n+1} - u_i^*)}{\partial x_i}. \quad (11)$$

Используя (7) и (11), можно записать уравнение Пуассона для функции давления:

$$\frac{\rho^{n+1} - \rho^*}{\Delta t^2} = \frac{\partial}{\partial x_j} \frac{\partial p^{n+1}}{\partial x_j}. \quad (12)$$

Подстановка функции ρ^* из уравнения (10) в (12) приводит последнее к виду:

$$\frac{\rho^{n+1} - \rho^n}{\Delta t^2} + \frac{\rho}{\Delta t} \frac{\partial u_i^*}{\partial x_i} = \frac{\partial}{\partial x_j} \frac{\partial p^{n+1}}{\partial x_j}. \quad (13)$$

Описанный выше метод расщепления был выведен как проекционный, в котором вторая подзадача эквивалентна проектированию решения первой подзадачи на пространство соленоидальных функций.

Самый простой способ ввести условие несжимаемости – записать равенство: $\rho^{n+1} = \rho^n = \rho^0 = \rho$. Тогда первое слагаемое в левой части уравнения (13) обратится в ноль. Тем не менее, при лагранжевом подходе к описанию среды лучше оценить это слагаемое, чтобы избежать накопления численной ошибки на каждом временном шаге. Перепишем условие несжимаемости, полагая, что на временном шаге t^{n+1} плотность равна начальной, то есть $\rho^{n+1} = \rho^0 = \rho$. Однако, из-за вычислительной ошибки это равенство не обязательно будет выполняться, поэтому значение плотности ρ^n должно оцениваться на каждом временном шаге с учетом упомянутой выше ошибки. Таким образом, уравнение (13) может быть переписано в виде:

$$\frac{\rho^0 - \rho^n}{\Delta t^2} + \frac{\rho}{\Delta t} \frac{\partial u_i^*}{\partial x_i} = \frac{\partial}{\partial x_j} \frac{\partial p^{n+1}}{\partial x_j}. \quad (14)$$

Алгоритм движения по времени состоит из следующих шагов.

- I) задание на n -ом временном слое распределения узлов области в виде массива;
- II) построение аппроксимирующих функций формы;
- III) вычисление предиктора скорости \mathbf{u}^* из системы (6), в случае моделирования движения вязкой жидкости, и из системы (8) – в случае идеальной;
- IV) решение уравнения Пуассона (14) для определения давления p^{n+1} ;
- V) вычисление нового значения скорости \mathbf{u}^{n+1} из уравнения (7) с учетом найденного на шаге IV давления;
- VI) вычисление нового положения частиц на $(n + 1)$ -ом временном шаге: $\mathbf{x}^{n+1} = \mathbf{x}^n + \mathbf{u}^{n+1} \Delta t$ и далее на шаг I.

§3. Основные этапы бессеточного метода конечных элементов

Метод естественных соседей был предложен Л. Траверсони в 1994 году для решения задач теории пластичности [6]. Этот метод представляет собой разновидность метода Галеркина. Как и в методе Галеркина, неизвестные функции аппроксимируются следующим образом: $q = N^T \mathbf{Q}$, где $q = (u_i, p, \rho)$, $i = \overline{1, 2}$; \mathbf{Q} – вектор узловых значений неизвестных q : $\mathbf{Q} = (U_i, P, \mathfrak{R})$, N – интерполяционные функции Сибсона и Лапласа. Для формирования дискретной системы уравнений используется метод взвешенных невязок в интегральной форме.

Можно выделить следующие основные шаги метода естественных соседей:

- расчетная область разбивается на ячейки Вороного первого порядка [7];
- для текущего набора узлов определяется граница расчетной области;
- для каждого узла, используя дискретизацию Вороного, определяется множество его естественных соседей;
- генерируются элементы расширенной триангуляции Делоне;

- с помощью метода Галеркина записывается слабая форма уравнений движения и неразрывности. Для аппроксимации неизвестных функций вычисляются функции формы Сибсона и Лапласа и их производные. Для вычисления интегралов используются квадратуры Хаммера;
- полученная система линейных алгебраических уравнений решается методом сопряженных градиентов с предобуславливанием.

§4. Численные результаты

Основными определяющими параметрами задачи являются амплитуда набегающей волны A , высота d подводного препятствия в виде ступеньки или угол α наклона пологого берега. На рисунке 2 показаны картины течения в различные моменты времени после прохождения уединенной волны амплитуды $A = 0,6$ над препятствием высоты $d = 0,7$. После момента обрушения происходит интенсивное перемешивание жидко-

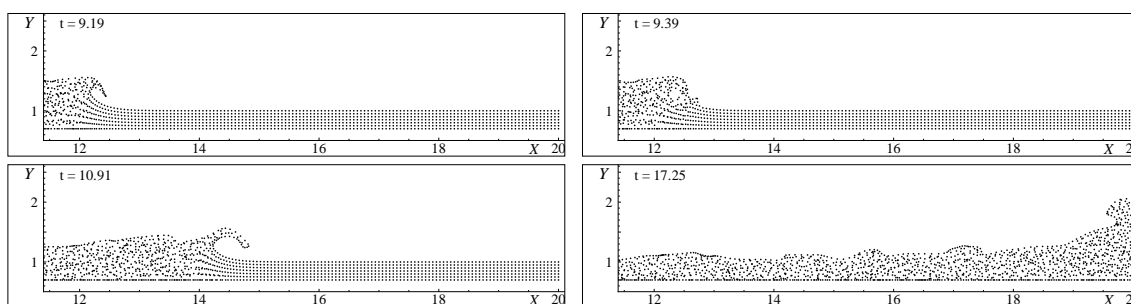


Рис. 2. Картина течения в различные моменты времени

сти, сопровождающееся появлением брызг (рисунок 2). Для наглядности, все рисунки представлены множеством расчетных узлов. В левом верхнем углу указаны соответствующие моменты времени. На рисунке 2, а) изображен момент перед обрушением гребня прошедшей волны. В следующий момент времени гребень сильно бьет в подошву волны, выталкивая перед собой движущуюся вперед с большой скоростью массу жидкости (рисунок 2, б). С течением времени данная масса жидкости увеличивается, из нее формируется волна, которая в дальнейшем обрушается (рисунок 2, в). В последующие моменты времени свободная поверхность подвержена сильному волнению, а движение жидкости представлено множеством взаимодействующих между собой волн различных форм и размеров.

Список литературы

- [1] Шокин Ю.И. Об использовании методов численного моделирования для решения прикладных задач проблемы цунами / Ю.И. Шокин, С.А. Бейзель, З.И. Федотова, Л.Б. Чубаров // Тр. Междунар. конф. "Вычисл. и информационные технологии в науке, технике и образовании". - Павлодар: ТОО НПФ "ЭКО", - 2006. - Т. I. С. 36–51.
- [2] Афанасьев К.Е. Численное моделирование взаимодействий уединенных волн с препятствиями / К.Е. Афанасьев, С.В. Стуколов // Вычислительные технологии. - 1999. - Т. 4. - № 6. С. 3–16.
- [3] НЕСТЕРОВ С.В. Изв. РАН. МЖГ. 1995. № 4. С. 116–121.

- [4] ЯНЕНКО Н.Н. Об экономичных неявных схемах (метод дробных шагов) // Докл. АН СССР. 1960. Т. 134, 5 с.
- [5] CHORIN A. Numerical solution of the Navier-Stokes equations // Math. Comp. 1968. -Vol. 22. P. 745–762.
- [6] TRAVERSONI L. Natural neighbor finite elements // In International Conference on Hydraulic Engineering Software. Hydrossoft Proceedings 2. Computational Mechanics Publications, 1994. - P. 291–297.
- [7] СКВОРЦОВ А.В. Триангуляция Делоне и ее применение. Томск: ТГУ, 2002. 128 с.